

# Solução Numérica da Equação da Onda Amortecida através do Método das Linhas e Auto-pares de Polinômios Matriciais Quadráticos

Fermín S. V. Bazán

e-mail: [fermin@mtm.ufsc.br](mailto:fermin@mtm.ufsc.br)

<http://www.mtm.ufsc.br/~fermin>

CFM-UFSC

M. C. Cunha

e-mail: [cunha@ime.unicamp.br](mailto:cunha@ime.unicamp.br)

<http://www.ime.unicamp.br>

IME-UNICAMP

Universidade Federal de Santa Catarina

Dezembro – 2005

Modelo:  $u_{tt}(x, t) + a(x)u_t(x, t) = d^2u_{xx}(x, t)$ ,  $0 \leq x \leq 1$ ,  $t \geq 0$ .

$u(x, 0) = f(x)$ ,  $u_t(x, 0) = g(x)$ ,  $0 \leq x \leq 1$ , (cond. inic.)

$u(0, t) = 0$ ,  $u(1, t) = 0$ ,  $t > 0$ , (cond. front.)

### Estado da arte:

□ Aspectos teóricos bem desenvolvidos

- Para  $a(x) \geq 0$ , espectro do operador bem conhecido

- Solução  $u(x, t) \rightarrow 0$  exponencialmente quando  $t \rightarrow \infty$ , etc, etc ( P. Freitas, L. Roder Tch, E. Zuazua, ... )

□ Nenhuma abordagem numérica usando autovalores.

### Apresentamos:

- Método numérico baseado em autovalores (Método de Arnoldi)

- Mostramos que as soluções numéricas têm convergência assintótica

- Exemplos numéricos

Modelo:  $u_{tt}(x, t) + a(x)u_t(x, t) = d^2u_{xx}(x, t)$ ,  $0 \leq x \leq 1$ ,  $t \geq 0$ .

$u(x, 0) = f(x)$ ,  $u_t(x, 0) = g(x)$ ,  $0 \leq x \leq 1$ , (cond. inic.)

$u(0, t) = 0$ ,  $u(1, t) = 0$ ,  $t > 0$ , (cond. front.)

### Estado da arte:

- Aspectos teóricos bem desenvolvidos
  - Para  $a(x) \geq 0$ , espectro do operador bem conhecido
  - Solução  $u(x, t) \rightarrow 0$  exponencialmente quando  $t \rightarrow \infty$ , etc, etc ( P. Freitas, L, Roder Tch, E. Zuazua, ... )
- Nenhuma abordagem numérica usando autovalores.

### Apresentamos:

- Método numérico baseado em autovalores (Método de Arnoldi)
- Mostramos que as soluções numéricas têm convergência assintótica
- Exemplos numéricos

Modelo:  $u_{tt}(x, t) + a(x)u_t(x, t) = d^2u_{xx}(x, t)$ ,  $0 \leq x \leq 1$ ,  $t \geq 0$ .

$u(x, 0) = f(x)$ ,  $u_t(x, 0) = g(x)$ ,  $0 \leq x \leq 1$ , (cond. inic.)

$u(0, t) = 0$ ,  $u(1, t) = 0$ ,  $t > 0$ , (cond. front.)

### Estado da arte:

- Aspectos teóricos bem desenvolvidos
  - Para  $a(x) \geq 0$ , espectro do operador bem conhecido
  - Solução  $u(x, t) \rightarrow 0$  exponencialmente quando  $t \rightarrow \infty$ , etc, etc ( P. Freitas, L, Roder Tch, E. Zuazua, ... )
- Nenhuma abordagem numérica usando autovalores.

### Apresentamos:

- Método numérico baseado em autovalores (Método de Arnoldi)
- Mostramos que as soluções numéricas têm convergência assintótica
- Exemplos numéricos

Modelo:  $u_{tt}(x, t) + a(x)u_t(x, t) = d^2u_{xx}(x, t)$ ,  $0 \leq x \leq 1$ ,  $t \geq 0$ .

$u(x, 0) = f(x)$ ,  $u_t(x, 0) = g(x)$ ,  $0 \leq x \leq 1$ , (cond. inic.)

$u(0, t) = 0$ ,  $u(1, t) = 0$ ,  $t > 0$ , (cond. front.)

### Estado da arte:

- Aspectos teóricos bem desenvolvidos
  - Para  $a(x) \geq 0$ , espectro do operador bem conhecido
  - Solução  $u(x, t) \rightarrow 0$  exponencialmente quando  $t \rightarrow \infty$ , etc, etc ( P. Freitas, L, Roder Tch, E. Zuazua, ... )
- Nenhuma abordagem numérica usando autovalores.

### Apresentamos:

- Método numérico baseado em autovalores (Método de Arnoldi)
- Mostramos que as soluções numéricas têm convergência assintótica
- Exemplos numéricos

## Método das Linhas:

Eq. evolução:  $U_t = \mathcal{L} U$ ,  $U(x, 0) = f(x)$ ,  $t \geq 0$ ,  $x \in \mathbb{R}^n$   
 $\mathcal{L}$ : Op. dif. indep. de  $t$

Discretização Espacial  
(dif. finitas, elem. finitos, met. espectralis, etc)



Sistema de EDO's:  $v_t = L_h v$ ,  $v(0) = f_h$  (1)

Mét. para EDO's (Runge-Kutta, etc)  $\Rightarrow v(x_i, t) \approx U(x, t)$  "ao longo das linhas  $(x_i, t)$ "

## Método das Linhas:

Eq. evolução:  $U_t = \mathcal{L} U$ ,  $U(x, 0) = f(x)$ ,  $t \geq 0$ ,  $x \in \mathbb{R}^n$   
 $\mathcal{L}$ : Op. dif. indep. de  $t$

Discretização Espacial  
(dif. finitas, elem. finitos, met. espectralis, etc)



Sistema de EDO's:  $v_t = L_h v$ ,  $v(0) = f_h$  (1)

Mét. para EDO's (Runge-Kutta, etc)  $\Rightarrow v(x_i, t) \approx U(x, t)$  "ao longo das linhas  $(x_i, t)$ "

## Método das Linhas:

Eq. evolução:  $U_t = \mathcal{L} U$ ,  $U(x, 0) = f(x)$ ,  $t \geq 0$ ,  $x \in \mathbb{R}^n$   
 $\mathcal{L}$ : Op. dif. indep. de  $t$

Discretização Espacial  
(dif. finitas, elem. finitos, met. espectralis, etc)



Sistema de EDO's:  $v_t = L_h v$ ,  $v(0) = f_h$  (1)

Mét. para EDO's (Runge-Kutta, etc)  $\Rightarrow v(x_i, t) \approx U(x, t)$  "ao longo das linhas  $(x_i, t)$ "

Método das linhas para a Eq. da Onda:

$$\begin{aligned} u_{tt}(x, t) + a(x)u_t(x, t) &= d^2u_{xx}(x, t), \quad 0 \leq x \leq 1, \quad t \geq 0. \\ u(x, 0) &= f(x), \quad u_t(x, 0) = g(x), \quad 0 \leq x \leq 1, \quad (\text{cond. inic.}) \\ u(0, t) &= 0, \quad u(1, t) = 0, \quad t > 0, \quad (\text{cond. front.}) \end{aligned}$$

Discretização Espacial (dif. Finitas):  $v_i(t) \approx u(x_i, t)$

$$0 = x_0 < x_1 < \cdots < x_n < x_{n+1} = 1, \quad x_i = ih, \quad i = 0, 1, \dots, n, \quad h = \frac{1}{n+1}.$$



Sistema de EDO's:

$$\begin{aligned} \ddot{v}_i(t) + a(x_i)\dot{v}_i(t) &= \frac{v_{i-1}(t) - 2v_i(t) + v_{i+1}(t)}{h^2}, \quad i = 1 : n, \\ v_0(t) &= v_{n+1}(t) = 0, \quad t \geq 0, \\ v_i(0) &= f(x_i), \quad \dot{v}_i(0) = g(x_i), \quad i = 1, \dots, n \end{aligned} \tag{2}$$

## Modelo Semi-discreto e solução

$$\begin{cases} A_2 \ddot{v}(t) + A_1 \dot{v}(t) + A_0 v(t) = 0, \\ v(0) = [f(x_1), \dots, f(x_n)]^T, \quad \dot{v}(0) = [g(x_1), \dots, g(x_n)]^T, \end{cases} \quad (3)$$

$$A_2 = I_n, \quad A_1 = \text{Diag}(a_1, \dots, a_n), \quad a_i = a(x_i), \quad A_0 = \text{Tridiag}(-1, 2, -1)$$



$$\begin{cases} \dot{y}(t) = L_h y(t), \\ y(0) = \begin{bmatrix} v(0) \\ \dot{v}(0) \end{bmatrix}, \end{cases} \quad L_h = \begin{bmatrix} 0 & I_n \\ -A_0 & -A_1 \end{bmatrix}, \quad y(t) = \begin{bmatrix} v(t) \\ \dot{v}(t) \end{bmatrix} \quad (4)$$

Solução:  $y(t) = \exp(L_h t)y(0)$ , depende dos autov. e autovet.  $(\lambda_j, \mathbf{x}_j)$  do polinômio matricial quadrático

$$P(\lambda) = A_2 \lambda^2 + A_1 \lambda + A_0$$

## Modelo Semi-discreto e solução

$$\begin{cases} A_2 \ddot{v}(t) + A_1 \dot{v}(t) + A_0 v(t) = 0, \\ v(0) = [f(x_1), \dots, f(x_n)]^T, \quad \dot{v}(0) = [g(x_1), \dots, g(x_n)]^T, \end{cases} \quad (3)$$

$$A_2 = I_n, \quad A_1 = \text{Diag}(a_1, \dots, a_n), \quad a_i = a(x_i), \quad A_0 = \text{Tridiag}(-1, 2, -1)$$

↔

$$\begin{cases} \dot{y}(t) = L_h y(t), \\ y(0) = \begin{bmatrix} v(0) \\ \dot{v}(0) \end{bmatrix}, \end{cases} \quad L_h = \begin{bmatrix} 0 & I_n \\ -A_0 & -A_1 \end{bmatrix}, \quad y(t) = \begin{bmatrix} v(t) \\ \dot{v}(t) \end{bmatrix} \quad (4)$$

Solução:  $y(t) = \exp(L_h t)y(0)$ , depende dos autov. e autovet.  $(\lambda_j, \mathbf{x}_j)$   
do polinômio matricial quadrático

$$P(\lambda) = A_2 \lambda^2 + A_1 \lambda + A_0$$

## Modelo Semi-discreto e solução

$$\begin{cases} A_2 \ddot{v}(t) + A_1 \dot{v}(t) + A_0 v(t) = 0, \\ v(0) = [f(x_1), \dots, f(x_n)]^T, \quad \dot{v}(0) = [g(x_1), \dots, g(x_n)]^T, \end{cases} \quad (3)$$

$$A_2 = I_n, \quad A_1 = \text{Diag}(a_1, \dots, a_n), \quad a_i = a(x_i), \quad A_0 = \text{Tridiag}(-1, 2, -1)$$

$\Updownarrow$

$$\begin{cases} \dot{y}(t) = L_h y(t), \\ y(0) = \begin{bmatrix} v(0) \\ \dot{v}(0) \end{bmatrix}, \end{cases} \quad L_h = \begin{bmatrix} 0 & I_n \\ -A_0 & -A_1 \end{bmatrix}, \quad y(t) = \begin{bmatrix} v(t) \\ \dot{v}(t) \end{bmatrix} \quad (4)$$

Solução:  $y(t) = \exp(L_h t)y(0)$ , depende dos autov. e autovet.  $(\lambda_j, \mathbf{x}_j)$  do polinômio matricial quadrático

$$P(\lambda) = A_2 \lambda^2 + A_1 \lambda + A_0$$

## Modelo Semi-discreto e solução. Caso: $L_h$ diagonalizável

$\mathbf{X} = [\mathbf{x}_1, \dots, \mathbf{x}_{2n}]$ ,  $\Lambda = \text{diag}(\lambda_1, \dots, \lambda_{2n})$ ,  $(\lambda_i, \mathbf{x}_i)$ : Auto-pares de  $P(\lambda)$

$$y(t) = \begin{bmatrix} \mathbf{X} \\ \mathbf{X}\Lambda \end{bmatrix} \underbrace{\exp(\Lambda t) \begin{bmatrix} \mathbf{X} \\ \mathbf{X}\Lambda \end{bmatrix}^{-1}}_{\alpha} \begin{bmatrix} v(0) \\ \dot{v}(0) \end{bmatrix}$$

$\Downarrow$

$$\begin{aligned} v(t) &= \mathbf{X} \exp(\Lambda t) \alpha, \\ &= \alpha_1 \mathbf{x}_1 \exp(\lambda_1 t) + \cdots + \alpha_{2n} \mathbf{x}_{2n} \exp(\lambda_{2n} t) \end{aligned} \quad (*)$$

### Método:

1. Encontre  $\lambda_j, \mathbf{x}_j$
2. Resolva para  $\alpha$ :  $\begin{bmatrix} \mathbf{X} \\ \mathbf{X}\Lambda \end{bmatrix} \alpha = \begin{bmatrix} v(0) \\ \dot{v}(0) \end{bmatrix}$
3. Calcule  $v(t)$  usando (\*).

- Porquê usar autovalores se eles custam  $O((2n)^3)$  operações ?

Modelo Semi-discreto e solução. Caso:  $L_h$  diagonalizável

$\mathbf{X} = [\mathbf{x}_1, \dots, \mathbf{x}_{2n}]$ ,  $\Lambda = \text{diag}(\lambda_1, \dots, \lambda_{2n})$ ,  $(\lambda_i, \mathbf{x}_i)$ : Auto-pares de  $P(\lambda)$

$$y(t) = \begin{bmatrix} \mathbf{X} \\ \mathbf{X}\Lambda \end{bmatrix} \underbrace{\exp(\Lambda t) \begin{bmatrix} \mathbf{X} \\ \mathbf{X}\Lambda \end{bmatrix}^{-1}}_{\alpha} \begin{bmatrix} v(0) \\ \dot{v}(0) \end{bmatrix}$$

↓

$$\begin{aligned} v(t) &= \mathbf{X} \exp(\Lambda t) \alpha, \\ &= \alpha_1 \mathbf{x}_1 \exp(\lambda_1 t) + \cdots + \alpha_{2n} \mathbf{x}_{2n} \exp(\lambda_{2n} t) \end{aligned} \quad (*)$$

### Método:

1. Encontre  $\lambda_j, \mathbf{x}_j$
2. Resolva para  $\alpha$ :  $\begin{bmatrix} \mathbf{X} \\ \mathbf{X}\Lambda \end{bmatrix} \alpha = \begin{bmatrix} v(0) \\ \dot{v}(0) \end{bmatrix}$
3. Calcule  $v(t)$  usando (\*).

- Porquê usar autovalores se eles custam  $O((2n)^3)$  operações ?

Modelo Semi-discreto e solução. Caso:  $L_h$  diagonalizável

$\mathbf{X} = [\mathbf{x}_1, \dots, \mathbf{x}_{2n}]$ ,  $\Lambda = \text{diag}(\lambda_1, \dots, \lambda_{2n})$ ,  $(\lambda_i, \mathbf{x}_i)$ : Auto-pares de  $P(\lambda)$

$$y(t) = \begin{bmatrix} \mathbf{X} \\ \mathbf{X}\Lambda \end{bmatrix} \underbrace{\exp(\Lambda t) \begin{bmatrix} \mathbf{X} \\ \mathbf{X}\Lambda \end{bmatrix}^{-1}}_{\alpha} \begin{bmatrix} v(0) \\ \dot{v}(0) \end{bmatrix}$$

↓

$$\begin{aligned} v(t) &= \mathbf{X} \exp(\Lambda t) \alpha, \\ &= \alpha_1 \mathbf{x}_1 \exp(\lambda_1 t) + \cdots + \alpha_{2n} \mathbf{x}_{2n} \exp(\lambda_{2n} t) \end{aligned} \quad (*)$$

### Método:

1. Encontre  $\lambda_j, \mathbf{x}_j$
2. Resolva para  $\alpha$ :  $\begin{bmatrix} \mathbf{X} \\ \mathbf{X}\Lambda \end{bmatrix} \alpha = \begin{bmatrix} v(0) \\ \dot{v}(0) \end{bmatrix}$
3. Calcule  $v(t)$  usando (\*).

- Porquê usar autovalores se eles custam  $O((2n)^3)$  operações ?

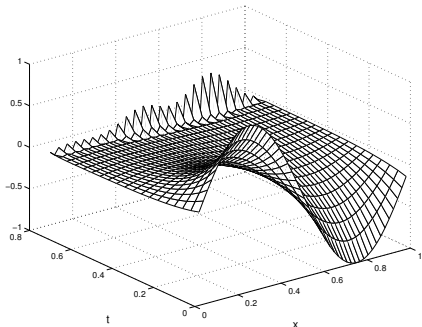
# Algumas razões que justificam o método:

- Métodos Runge-Kutta precisam de “tamanho de passo” muito pequeno para funcionarem bem (perdem estabilidade quando  $t$  cresce).

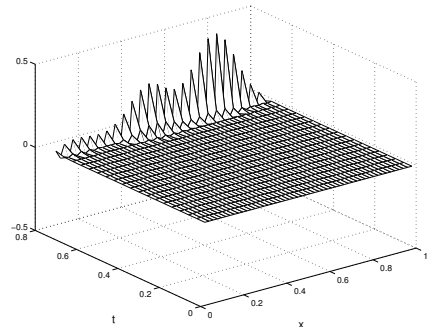
Modelo:  $u_{tt} + \varepsilon a u_t = u_{xx}$ ,  $\varepsilon a = 4\pi$ ,  $\Delta t = 0.04$ ,  $n = 50$

$$u(x, 0) = \sin(2\pi x), \quad u_t(x, 0) = -2\pi \sin(2\pi x), \quad u(0, t) = u(1, t) = 0$$

Solução Numérica



ERRO



## Algumas razões que justificam o método:

- Existência de métodos eficientes para autovalores (QR, Arnoldi, Iteração Simultânea, etc)
- Soluções do método têm estabilidade assintótica garantida (Bazán e Cunha (2004)).

□ A equação  $\begin{bmatrix} \mathbf{x} \\ \mathbf{x}\Lambda \end{bmatrix} \alpha = \begin{bmatrix} v(0) \\ \dot{v}(0) \end{bmatrix}$  sugere que poucos autovalores podem ser necessitados quando o vetor de condições iniciais  $w_0 = \begin{bmatrix} v(0) \\ \dot{v}(0) \end{bmatrix}$  pertence a um subespaço invariante  $\mathcal{S}$  de dimensão pequena (a maior parte dos  $\alpha$ 's são nulos !) Se  $w_0 \in \mathcal{S}$  de dimensão  $p$ , o método de Arnoldi inicializado com  $w_0$  converge em  $p$  iterações!!  
Neste caso basta resolver:

$$\begin{bmatrix} \mathbf{x}_1 & \cdots & \mathbf{x}_p \\ \mathbf{x}_1\lambda_1 & \cdots & \mathbf{x}_p\lambda_p \end{bmatrix} \alpha = \begin{bmatrix} v(0) \\ \dot{v}(0) \end{bmatrix}$$

## Algumas razões que justificam o método:

- Existência de métodos eficientes para autovalores (QR, Arnoldi, Iteração Simultânea, etc)
- Soluções do método têm estabilidade assintótica garantida (Bazán e Cunha (2004)).

A equação  $\begin{bmatrix} \mathbf{x} \\ \mathbf{x}\Lambda \end{bmatrix} \alpha = \begin{bmatrix} v(0) \\ \dot{v}(0) \end{bmatrix}$  sugere que poucos autovalores podem ser necessitados quando o vetor de condições iniciais  $w_0 = \begin{bmatrix} v(0) \\ \dot{v}(0) \end{bmatrix}$  pertence a um subespaço invariante  $\mathcal{S}$  de dimensão pequena (a maior parte dos  $\alpha$ 's são nulos !) Se  $w_0 \in \mathcal{S}$  de dimensão  $p$ , o método de Arnoldi inicializado com  $w_0$  converge em  $p$  iterações!!

Neste caso basta resolver:

$$\begin{bmatrix} \mathbf{x}_1 & \cdots & \mathbf{x}_p \\ \mathbf{x}_1\lambda_1 & \cdots & \mathbf{x}_p\lambda_p \end{bmatrix} \alpha = \begin{bmatrix} v(0) \\ \dot{v}(0) \end{bmatrix}$$

## Algumas razões que justificam o método:

- Existência de métodos eficientes para autovalores (QR, Arnoldi, Iteração Simultânea, etc)
- Soluções do método têm estabilidade assintótica garantida (Bazán e Cunha (2004)).
- A equação  $\begin{bmatrix} \mathbf{X} \\ \mathbf{X}\Lambda \end{bmatrix} \alpha = \begin{bmatrix} v(0) \\ \dot{v}(0) \end{bmatrix}$  sugere que poucos autovalores podem

ser necessitados quando o vetor de condições iniciais  $w_0 = \begin{bmatrix} v(0) \\ \dot{v}(0) \end{bmatrix}$  pertence a um subespaço invariante  $\mathcal{S}$  de dimensão pequena (a maior parte dos  $\alpha$ 's são nulos !) Se  $w_0 \in \mathcal{S}$  de dimensão  $p$ , o método de Arnoldi inicializado com  $w_0$  converge em  $p$  iterações!!

Neste caso basta resolver:

$$\begin{bmatrix} \mathbf{x}_1 & \cdots & \mathbf{x}_p \\ \mathbf{x}_1\lambda_1 & \cdots & \mathbf{x}_p\lambda_p \end{bmatrix} \alpha = \begin{bmatrix} v(0) \\ \dot{v}(0) \end{bmatrix}$$

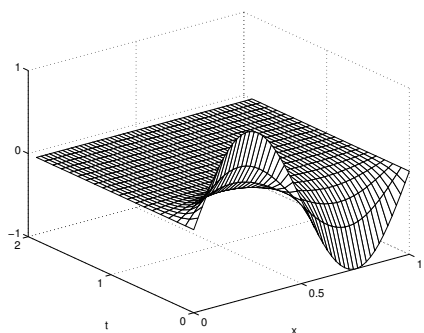
## Resultados do Método proposto: Exemplo 1. Amortecimento constante

Modelo:  $u_{tt} + \epsilon a u_t = u_{xx}$ ,  $\epsilon a = 4\pi$ ,

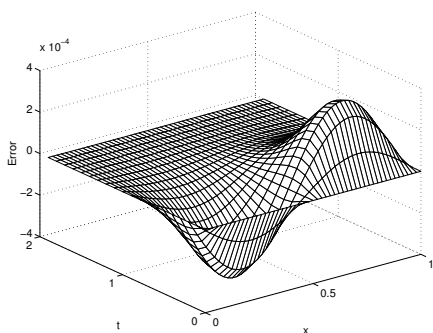
$$u(x, 0) = \sin(2\pi x), \quad u_t(x, 0) = -2\pi \sin(2\pi x), \quad u(0, t) = u(1, t) = 0$$

$n = 50$  , Iterações Arnoldi = 2

Solução Numérica



ERR0



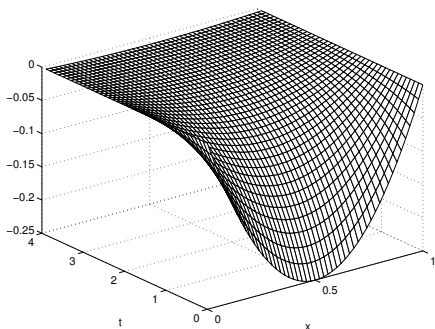
## Resultados do Método proposto: Exemplo 2. Amortecimento variável

Modelo:  $u_{tt} + \varepsilon a u_t = u_{xx}$ ,  $a(x) = 1 - \frac{2}{x(x-1)}$ , sol. ex.:  $u(x, t) = e^{-t} x(x-1)$

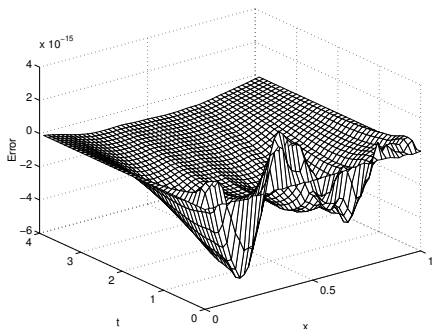
$$u(x, 0) = -x(x-1), \quad u_t(x, 0) = x(x-1), \quad u(0, t) = u(1, t) = 0$$

$$n = 50, \quad \varepsilon = 1, \quad \text{Iterações Arnoldi} = 1$$

Solução Numérica



ERR0



Exemplo 2. Porquê Arnoldi converge em apenas 1 iteração?

Modelo:  $u_{tt} + \varepsilon a u_t = u_{xx}$ ,  $a(x) = 1 - \frac{2}{x(x-1)}$ , sol. ex.:  $u(x, t) = e^{-t} x(x-1)$   
 $u(x, 0) = -x(x-1)$ ,  $u_t(x, 0) = x(x-1)$ ,  $u(0, t) = u(1, t) = 0$

### Método:

1. Encontre  $\lambda_j, \mathbf{x}_j$

2. Resolva para  $\alpha$ :  $\begin{bmatrix} \mathbf{X} \\ \mathbf{X}\Lambda \end{bmatrix} \alpha = \begin{bmatrix} v(0) \\ \dot{v}(0) \end{bmatrix}$

3. Calcule  $v(t) = \alpha_1 \mathbf{x}_1 \exp(\lambda_1 t) + \dots + \alpha_{2n} \mathbf{x}_{2n} \exp(\lambda_{2n} t)$

- Convergência é atingida em 1 iteração porque para este exemplo o vetor de condições iniciais depende linearmente do primeiro autovetor. Isto é,

$$\alpha_1 \neq 0, \alpha_j = 0, 2 \leq j \leq 2n.$$

Exemplo 2. Porquê Arnoldi converge em apenas 1 iteração?

Modelo:  $u_{tt} + \varepsilon a u_t = u_{xx}$ ,  $a(x) = 1 - \frac{2}{x(x-1)}$ , sol. ex.:  $u(x, t) = e^{-t} x(x-1)$   
 $u(x, 0) = -x(x-1)$ ,  $u_t(x, 0) = x(x-1)$ ,  $u(0, t) = u(1, t) = 0$

### Método:

1. Encontre  $\lambda_j, \mathbf{x}_j$
2. Resolva para  $\alpha$ :  $\begin{bmatrix} \mathbf{X} \\ \mathbf{X}\Lambda \end{bmatrix} \alpha = \begin{bmatrix} v(0) \\ \dot{v}(0) \end{bmatrix}$

3. Calcule  $v(t) = \alpha_1 \mathbf{x}_1 \exp(\lambda_1 t) + \cdots + \alpha_{2n} \mathbf{x}_{2n} \exp(\lambda_{2n} t)$

- Convergência é atingida em 1 iteração porque para este exemplo o vetor de condições iniciais depende linearmente do primeiro autovetor. Isto é,

$$\alpha_1 \neq 0, \alpha_j = 0, 2 \leq j \leq 2n.$$

Exemplo 2. Porquê Arnoldi converge em apenas 1 iteração?

Modelo:  $u_{tt} + \varepsilon a u_t = u_{xx}$ ,  $a(x) = 1 - \frac{2}{x(x-1)}$ , sol. ex.:  $u(x, t) = e^{-t} x(x-1)$

$$u(x, 0) = -x(x-1), \quad u_t(x, 0) = x(x-1), \quad u(0, t) = u(1, t) = 0$$

### Método:

1. Encontre  $\lambda_j, \mathbf{x}_j$
2. Resolva para  $\alpha$ :  $\begin{bmatrix} \mathbf{X} \\ \mathbf{X}\Lambda \end{bmatrix} \alpha = \begin{bmatrix} v(0) \\ \dot{v}(0) \end{bmatrix}$

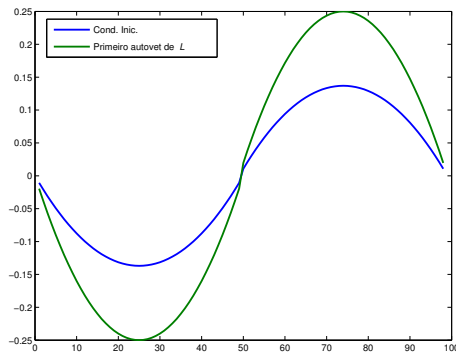
$$3. \text{ Calcule } v(t) = \alpha_1 \mathbf{x}_1 \exp(\lambda_1 t) + \cdots + \alpha_{2n} \mathbf{x}_{2n} \exp(\lambda_{2n} t)$$

- Convergência é atingida em 1 iteração porque para este exemplo o vetor de condições iniciais depende linearmente do primeiro autovetor. Isto é,

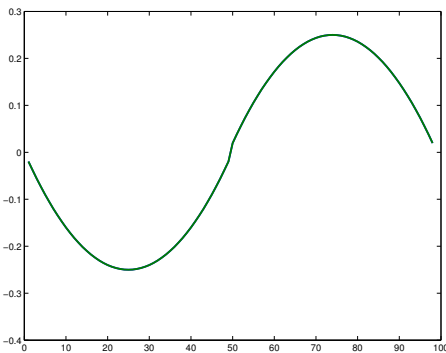
$$\alpha_1 \neq 0, \quad \alpha_j = 0, \quad 2 \leq j \leq 2n.$$

Exemplo 2: Condições iniciais  $w_0$  “rapidamente resolvidas” em termos de autovetores  $\mathbf{v}_j$  do operador

$w_0$  e  $\mathbf{v}_1$  (prim. autov.)



$w_0$  e  $\alpha_1 \mathbf{v}_1$

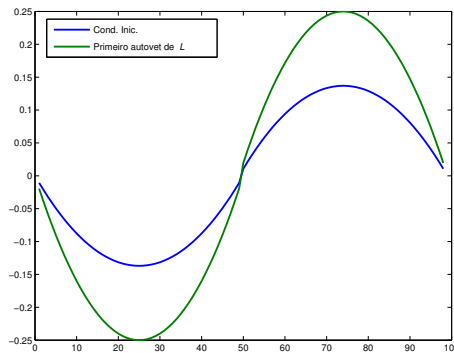


- **Conclusão:** O método de Arnoldi pode ser muito eficiente quando o vetor  $w_0$  é aproximado bem como comb. linear de poucos autovet. do operador.

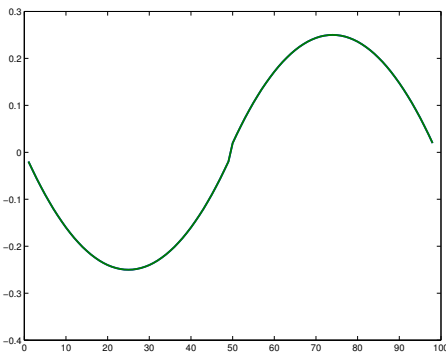
FIM

Exemplo 2: Condições iniciais  $w_0$  “rapidamente resolvidas” em termos de autovetores  $\mathbf{v}_j$  do operador

$w_0$  e  $\mathbf{v}_1$  (prim. autov.)



$w_0$  e  $\alpha_1 \mathbf{v}_1$



- **Conclusão:** O método de Arnoldi pode ser muito eficiente quando o vetor  $w_0$  é aproximado bem como comb. linear de poucos autovet. do operador.

**FIM**